01

# Моделирование трехкубитного кода повторений в цепочке сверхпроводниковых кубитов с соединительными элементами

© Н.Г. Березкин $^{1-3}$ , И.А. Симаков $^{1,2}$ , Г.С. Мажорин $^{1,2}$ 

- <sup>1</sup> Национальный исследовательский технологический университет "МИСИС", Москва, Россия
- <sup>2</sup> Российский квантовый центр, Москва, Россия
- 3 Московский физико-технический институт (Национальный исследовательский университет),

Долгопрудный, Московская обл., Россия E-mail: berezkin.ng@phystech.edu

Поступило в Редакцию 22 июля 2025 г. В окончательной редакции 18 августа 2025 г. Принято к публикации 25 августа 2025 г.

В сверхпроводниковых квантовых схемах перспективным методом реализации высокоточных двухкубитных операций является микроволновое возбуждение соединительного элемента. Представлено моделирование трехкубитного кода повторений с учетом физического механизма реализации двухкубитных операций: исследовано влияние паразитной населенности возбужденного состояния соединительного кубита и продемонстрировано успешное исправление данной ошибки с помощью кодов коррекции квантовых ошибок.

**Ключевые слова:** сверхпроводниковые кубиты, соединительный элемент, микроволновые операции, код повторений, утечки из вычислительного подпространства.

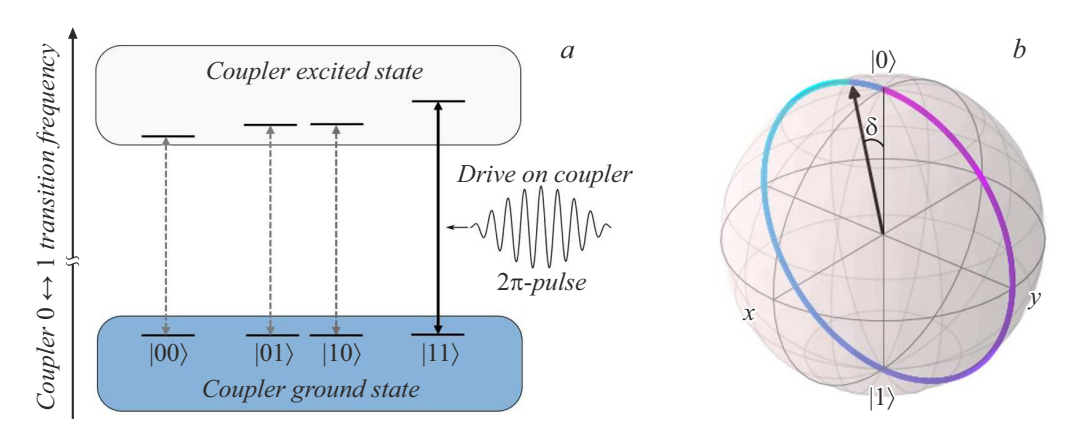
DOI: 10.61011/PJTF.2025.22.61587.20451

Коды, исправляющие квантовые ошибки, необходимы для реализации помехоустойчивых масштабируемых квантовых вычислений. В пионерской работе [1] было впервые продемонстрировано детектирование ошибок на сверхпроводниковых кубитах. В настоящее время наиболее изученными являются стабилизаторные коды, такие как код повторений [2] и поверхностный код коррекции ошибок [3]. В работе [4] на сверхпроводниковых кубитах впервые продемонстрировано последовательное детектирование ошибок с помощью кода повторений, в работе [5] — с помощью поверхностного кода. В ряде передовых работ [6,7] на сверхпроводниковых процессорах выполнено масштабирование поверхностного кода и продемонстрирован логический кубит, превосходящий по когерентным характеристикам все физические кубиты, на которых он закодирован. Существуют и другие экспериментально реализованные алгоритмы квантовой коррекции ошибок, например, LDPC-коды [8,9]. Помимо сверхпроводниковых кубитов помехоустойчивые квантовые вычисления развиваются и на других платформах: ионах [10] и нейтральных атомах [11].

В стабилизаторных кодах коррекции ошибок для защиты логических квантовых состояний от воздействия шума выполняется их кодировка с помощью совокупности физических кубитов, называемых информационными кубитами. Между ними располагаются вспомогательные кубиты, их измерение позволяет определить четность состояния соседних информационных кубитов, изменение которой сигнализирует о возникновении ошибки. Произвольные возмущения состояний информационных кубитов преобразуются в композицию дискретных X-и Z-ошибок благодаря проективным измерениям вспо-

могательных кубитов, результаты которых называются синдромами ошибок [2,3,12]. Чтобы установить, каковы были ошибки и на каких кубитах они произошли, последовательности измеренных синдромов ошибок декодируются с помощью классических алгоритмов. Одной из проблем такого подхода является то, что утечки из вычислительного подпространства не преобразуются в X- или Z-ошибки при измерении вспомогательных кубитов [13]. Утечки характерны для сверхпроводниковых кубитов, представляющих собой многоуровневые системы с вычислительным подпространством из двух низших энергетических состояний. Более того, невычислительные состояния сверхпроводниковых кубитов могут использоваться для реализации многокубитных операций [14–16], несовершенство калибровки которых приводит к остаточной населенности невычислительных уровней.

Перспективным с точки зрения масштабирования вариантом реализации перестраиваемой связи между сверхпроводниковыми кубитами является использование соединительного кубита (C) между вычислительными кубитами (Q). Одним из способов выполнения двухкубитных операций в такой архитектуре является микроволновое возбуждение соединительного элемента. При реализации микроволновых операций в качестве вычислительных кубитов используются кубитыфлаксониумы, а в качестве соединительных элементов — трансмоны или флаксониумы [15,16]. К достоинствам микроволновых операций в архитектуре QCQ относятся подавление ZZ-взаимодействия между вычислительными кубитами до уровня нескольких килогерц и отсутствие необходимости перестраивать магнитный



**Рис. 1.** Экспериментальная реализация операции СZ. a — переход 0—1 соединительного элемента, зависящий от состояний соседних вычислительных кубитов. b — траектория и конечное положение на сфере Блоха вектор-состояния соединительного кубита после выполнения операции СZ. Отклонение на угол  $\delta$  от состояния  $|0\rangle$  обусловлено погрешностью калибровки  $2\pi$ -импульса.

поток из оптимального значения, при котором достигаются максимальные времена когерентности кубитов [17]. Таким образом, достигается высокая эффективность запутывания в сочетании с низкими паразитными взаимодействиями в режиме ожидания.

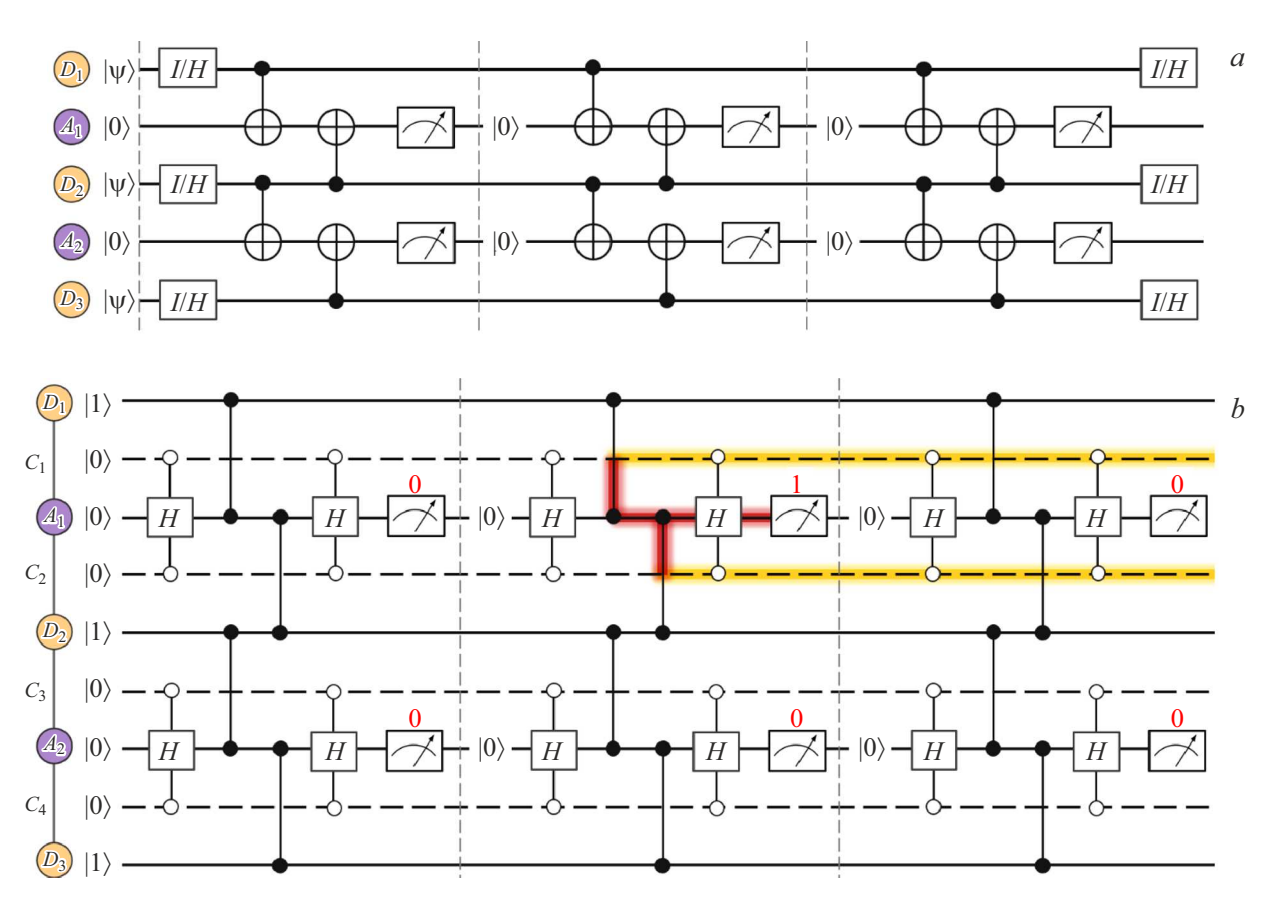
Принцип работы микроволновых операций основан на сильном взаимодействии соединительного элемента и вычислительных кубитов. Оно приводит к возникновению дисперсионного сдвига (порядка  $100\,\mathrm{MHz}$ ) [15,16] первого возбужденного состояния соединительного кубита, зависящего от состояний двух соседних вычислительных кубитов (рис. 1,a). В результате отстройка частоты управляющего сигнала от частоты перехода соединительного кубита зависит от состояний вычислительных кубитов, что приводит к набегу различных фаз на вычислительных состояниях.

В работе [15] предложен метод реализации операции CZ в архитектуре  $Q_1CQ_2$  путем подачи на соединительный элемент  $2\pi$ -импульса, частота которого близка к переходу  $|101\rangle_{Q_1CQ_2}-|111\rangle_{Q_1CQ_2}$ . За период осцилляций Раби в вычислительном состоянии  $|11\rangle_{Q_1Q_2}$  накапливается условная фаза  $\pi$ . Устанавливая частоту микроволнового сигнала близко к переходу  $|101\rangle_{Q_1CQ_2}-|111\rangle_{Q_1CQ_2}$ , можно возбуждать колебания только между этими состояниями, оставляя остальные незатронутыми. Для достижения высокой точности двухкубитной операции соединительный элемент должен вернуться в основное состояние по завершении импульса. На практике в возбужденном состоянии соединительного кубита может остаться некоторая малая населенность, в первую очередь из-за несовершенства калибровки  $2\pi$ -импульса (рис. 1, b). Возникновение этой утечки из вычислительного подпространства ставит под вопрос возможность применения микроволновых операций для реализации стандартных алгоритмов коррекции. Эта паразитная населенность, в частности, препятствует выполнению однокубитных операций, изменяя частоту соседних вычислительных кубитов. Для проверки работоспособности кода коррекции в этой архитектуре необходимо выполнить его моделирование с учетом населенности соединительного элемента.

Возможность коррекции утечки в возбужденное состояние соединительного элемента с помощью стабилизаторных кодов исследовалась на примере трехкубитного кода повторений (рис. 2, a). В трехкубитном коде повторений логическое состояние кодируется с помощью трех информационных кубитов, а измерение синдромов ошибок осуществляется с помощью двух вспомогательных кубитов путем выполнения последовательных операций CNOT и измерения состояний вспомогательных кубитов. Если р — вероятность возникновения независимой физической ошибки за время одного цикла коррекции, то после выполнения алгоритма коррекции и исправления ошибок вероятность логической ошибки при малых р в ведущем порядке пропорциональна  $p^2$  — на этом основан выигрыш, который обеспечивает трехкубитный код повторений [2].

Экспериментально операция CNOT реализуется путем выполнения операции CZ между информационным кубитом D и вспомогательным кубитом A, до и после которого следуют операторы Адамара H на вспомогательном кубите. Будем представлять операцию CZ как X-вращение на угол  $\phi=2\pi+\delta$  между состояниями  $|101\rangle_{DCA}$  и  $|111\rangle_{DCA}$ , где  $\delta\ll 1$  — систематическая погрешность калибровки. Соответствующий унитарный оператор в базисе информационный—соединительный—вспомогательный кубиты  $|DCA\rangle$ :

$$U_{\text{CZ}} = \begin{pmatrix} 1 & 0 & 0 & 0 & 0 & 0 & 0 & 0 \\ 0 & 1 & 0 & 0 & 0 & 0 & 0 & 0 \\ 0 & 0 & 1 & 0 & 0 & 0 & 0 & 0 \\ 0 & 0 & 0 & 1 & 0 & 0 & 0 & 0 \\ 0 & 0 & 0 & 0 & 1 & 0 & 0 & 0 & 0 \\ 0 & 0 & 0 & 0 & \cos\frac{\varphi}{2} & 0 & -i\sin\frac{\varphi}{2} \\ 0 & 0 & 0 & 0 & 0 & -i\sin\frac{\varphi}{2} & 0 & \cos\frac{\varphi}{2} \end{pmatrix}. \quad (1)$$



**Рис. 2.** a — трехкубитный код повторений, исправляющий X- или Z-ошибки (изображены три цикла коррекции). b — пример распространения ошибки на соединительном элементе в трехкубитном коде повторений, исправляющем X-ошибки. Изображен сценарий  $|0\rangle_{A_1} \to |1\rangle_{A_1} \to |0\rangle_{A_1}$ . Квантовая схема кодирует логическое состояние  $|1\rangle_L$ .  $D_1$ ,  $D_2$ ,  $D_3$  — информационные кубиты;  $A_1$ ,  $A_2$  — вспомогательные кубиты;  $C_1$ ,  $C_2$ ,  $C_3$ ,  $C_4$  — соединительные элементы.

Кроме того, положим, что оператор Адамара не выполняется, если хотя бы один из соседних соединительных элементов находится в возбужденном состоянии. На схеме этому соответствует инвертированный управляющий вход на соединительном кубите. Соответствующий унитарный оператор в базисе соединительный—вспомогательный—соединительный кубиты  $|CAC\rangle$ :

$$U_{H} = \begin{pmatrix} \frac{1}{\sqrt{2}} & 0 & \frac{1}{\sqrt{2}} & 0 & 0 & 0 & 0 & 0 \\ 0 & 1 & 0 & 0 & 0 & 0 & 0 & 0 \\ \frac{1}{\sqrt{2}} & 0 & -\frac{1}{\sqrt{2}} & 0 & 0 & 0 & 0 & 0 \\ 0 & 0 & 0 & 1 & 0 & 0 & 0 & 0 \\ 0 & 0 & 0 & 0 & 1 & 0 & 0 & 0 \\ 0 & 0 & 0 & 0 & 0 & 1 & 0 & 0 \\ 0 & 0 & 0 & 0 & 0 & 0 & 1 & 0 \\ 0 & 0 & 0 & 0 & 0 & 0 & 0 & 1 \end{pmatrix}. \tag{2}$$

Если информационные кубиты приготовлены в логическом состоянии  $|0\rangle_L=|000\rangle_{D_1D_2D_3}$ , то погрешность калибровки  $\delta$  не приводит к возникновению ошибок, так как последовательное применение операторов  $U_H$ ,  $U_{\rm CZ}$ ,  $U_H$  сохраняет все кубиты в основном состоянии. Однако для логического состояния  $|1\rangle_L=|111\rangle_{D_1D_2D_3}$  по-

грешность  $\delta$  уже будет иметь последствия. Рассмотрим пример одного из сценариев возникновения ошибок при выполнении кода повторений над логическим состоянием  $|1\rangle_L$  (рис. 2, b). Пусть на информационных кубитах  $D_1$  и  $D_2$  выполняется измерение синдрома ошибки с помощью вспомогательного кубита  $A_1$ , соединенного с информационными кубитами с помощью соединительных элементов  $C_1$  и  $C_2$ . В этом примере предположим, что других каналов ошибок, не связанных с населенностью соединительного элемента, в квантовой схеме нет. После выполнения квантовых операций из цикла коррекции над состоянием  $|D_1C_1A_1C_2D_2\rangle^{(0)} = |10001\rangle$  получится следующее запутанное состояние:

$$|D_{1}C_{1}A_{1}C_{2}D_{2}\rangle^{(1)} = \frac{1}{2}\left(1 + \cos^{2}\frac{\delta}{2}\right)|10001\rangle$$

$$+ \frac{1}{2}\left(1 - \cos^{2}\frac{\delta}{2}\right)|10101\rangle$$

$$- \frac{\sqrt{2i}}{4}\sin\delta\left(|10111\rangle + |11101\rangle\right)$$

$$- \frac{1}{\sqrt{2}}\sin^{2}\frac{\delta}{2}|11111\rangle. \tag{3}$$

**Таблица 1.** Асимптотические вероятности сценариев ошибок, связанных с населенностью соединительного элемента, в трех циклах коррекции

Количество ошибок	Сценарий	Вероятность
0	0 angle  ightarrow  0 angle  ightarrow  0 angle	$1 - \frac{3}{4}p_c + O(p_c^{3/2})$
1	$ \begin{array}{c}  1\rangle \rightarrow  O\rangle \rightarrow  0\rangle \\  0\rangle \rightarrow  1\rangle \rightarrow  0\rangle \\  0\rangle \rightarrow  0\rangle \rightarrow  1\rangle \end{array} $	$rac{1}{4}p_c + O(p_c^2)$
2	$ \begin{array}{c}  1\rangle \rightarrow  1\rangle \rightarrow  0\rangle \\  0\rangle \rightarrow  1\rangle \rightarrow  1\rangle \\  1\rangle \rightarrow  0\rangle \rightarrow  1\rangle \end{array} $	$rac{1}{256}p_c^3 + O(p_c^4)$
3	1 angle  ightarrow  1 angle  ightarrow  1 angle	$\frac{1}{1024}p_c^5 + O(p_c^6)$

Согласно выражению (3), при измерении состояния вспомогательного кубита  $A_1$  будет получено состояние  $|0\rangle_{A_1}$  с вероятностью

$$|(1 + \cos^2(\delta/2))/2|^2 = 1 - \delta^2/4 + O(\delta^3).$$

При этом с вероятностью  $\delta^2/4 + O(\delta^3)$  может быть получено состояние  $|1\rangle_{A_1}$  — это неверный результат измерения четности состояния информационных кубитов  $D_1$  и  $D_2$ . Повторение такой ошибки в нескольких циклах подряд может привести к неверному декодированию измеренных синдромов и, как следствие, к логическим ошибкам.

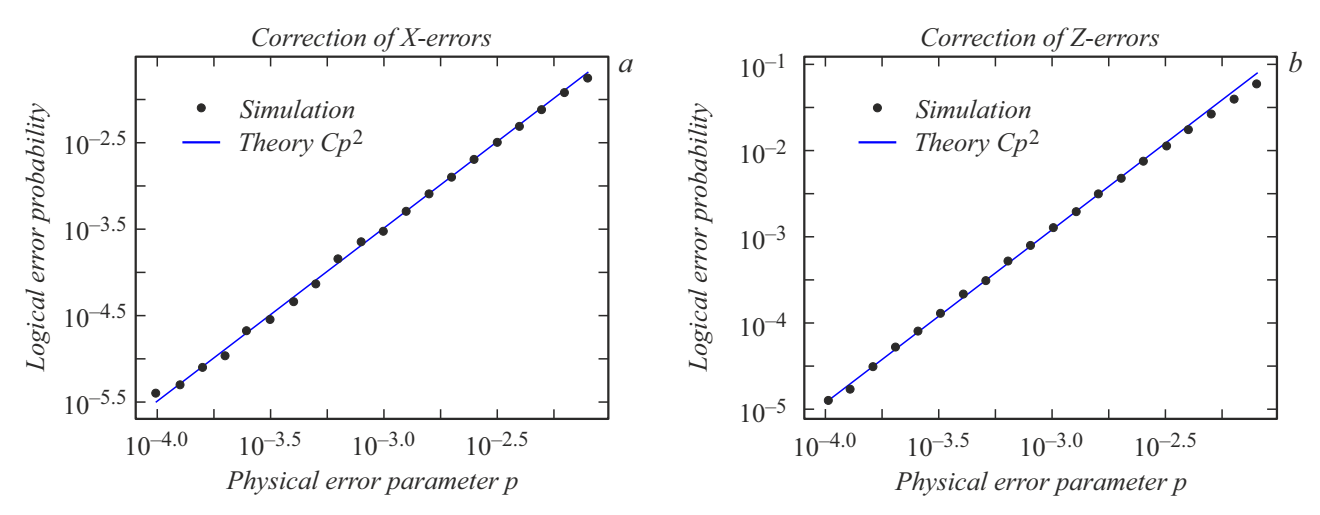
Введем величину  $p_c = \delta^2$  — параметр физической ошибки, связанной с населенностью соединительного элемента. Путем вычисления состояний  $|D_1C_1A_1C_2D_2\rangle^{(i)}$  после выполнения i-го цикла коррекции можно найти асимптотические значения вероятностей различных сценариев измерения синдромов ошибок  $|x_1\rangle_{A_1} \to |x_2\rangle_{A_1} \to \cdots \to |x_N\rangle_{A_1}$ , где  $|x_i\rangle_{A_1}$  — результат измерения вспомогательного кубита  $A_1$  на i-м цикле коррекции. Например, если рассмотреть цепочку из трех циклов коррекции, вероятность благоприятного сценария  $|0\rangle_{A_1} \to |0\rangle_{A_1}$  составляет

 $1 - 3p_c/4 + O(p_c^{3/2})$ . Вероятности сценариев с одной ошибкой в течение трех циклов коррекции составляют  $p_c/4 + O(p_c^2)$  — эти вероятности линейны по параметру  $p_c$ , однако такие сценарии не приведут к логическим ошибкам, декодер их корректно обработает аналогично ошибкам считывания вспомогательных кубитов. Асимптотические вероятности других сценариев приведены в табл. 1. Расчеты показали, что вероятности реализации сценариев с двумя ошибками в течение трех циклов в ведущем порядке пропорциональны  $p_c^3$ , что превосходит предел коррекции трехкубитного кода повторений. Таким образом, несовершенство операции CNOT само по себе не приводит к логическим ошибкам, вероятность которых линейна по параметру  $p_c$ . Это дает основания полагать, что код повторений будет эффективно работать в предложенной модели ошибок, учитывающей влияние соединительного элемента.

Для проверки работоспособности кода коррекции в рассматриваемой архитектуре было выполнено моделирование. Используемая в расчетах модель ошибок включала каналы релаксации и чистой дефазировки [18], ошибку считывания вспомогательных кубитов и рассмотренное выше влияние соединительных кубитов. Параметры, характеризующие каждую физическую ошибку, приведены в табл. 2. При расчетах все эти параметры полагались равными одной величине р — параметру физической ошибки. Критерием работоспособности трехкубитного кода повторений является параболическая зависимость вероятности логической ошибки от введенного параметра физической ошибки р. Для симуляции квантовых схем использовалась библиотека Qiskit [19]. Для декодирования синдромов ошибок использовался алгоритм MWPM (minimum weight-perfect matching) [20]. Отдельно были выполнены симуляции кода повторений, исправляющего Х- и Z-ошибки. В коде повторений, исправляющем Х-ошибки, информационные кубиты инициализировались в состояниях  $|0\rangle_L$  и  $|1\rangle_L$ ; в коде повторений, исправляющем Z-ошибки, — в состояниях  $|+\rangle_L$  и  $|-\rangle_L$ . В обоих алгоритмах выполнялось по 20 циклов коррекции. Для набора статистики оба алгоритма запускались  $2 \cdot 10^6$  раз. В каждом вычислительном эксперименте были получены квадратичные зависимости ве-

Таблица 2. Модель ошибок, используемая при моделировании трехкубитного кода повторений

Физическая ошибка	Параметр	
Релаксация	$\gamma_1 = rac{ au}{T_1}$ — отношение длительности операции $ au$ к времени релаксации $T_1$	
Чистая дефазировка	$\gamma_\phi = rac{ au}{T_\phi}$ — отношение длительности операции $ au$ к времени чистой дефазировки $T_\phi$	
Ошибка считывания	$p_m$ — вероятность $X$ -ошибки при измерении вспомогательного кубита	
Утечка в возбужденное состояние соединительного кубита	$p_c=\delta^2$ , $\delta$ — систематическая погрешность калибровки $2\pi$ -импульса	



**Рис. 3.** Зависимости вероятности логической ошибки от параметра физической ошибки p для кода повторений, исправляющего X-ошибки (a) и Z-ошибки (b). Точками показаны результаты моделирования, линией — теоретическая квадратичная зависимость.

роятности логической ошибки от параметра физической ошибки (рис. 3). Таким образом, продемонстрировано, что ошибка, связанная с населенностью соединительных элементов, успешно корректируется кодом повторений.

#### Благодарности

Авторы выражают благодарность А.В. Устинову за ценные замечания и полезные комментарии, способствовавшие улучшению текста статьи.

### Финансирование работы

Исследование выполнено при поддержке Министерства науки и высшего образования РФ в рамках программы стратегического академического лидерства "Приоритет-2030" (стратегический проект "Квантовый интернет").

#### Конфликт интересов

Авторы заявляют, что у них нет конфликта интересов.

## Список литературы

- A.D. Córcoles, E. Magesan, S.J. Srinivasan, A.W. Cross, M. Steffen, J.M. Gambetta, J.M. Chow, Nat. Commun., 6, 6979 (2015). DOI: 10.1038/ncomms7979
- [2] S.J. Devitt, W.J. Munro, K. Nemoto, Rep. Prog. Phys., 76 (7), 076001 (2013). DOI: 10.1088/0034-4885/76/7/076001
- [3] A.G. Fowler, M. Mariantoni, J.M. Martinis, A.N. Cleland, Phys. Rev. A, 86 (3), 032324 (2012).DOI: 10.1103/PhysRevA.86.032324
- [4] J. Kelly, R. Barends, A.G. Fowler, A. Megrant, E. Jeffrey, T.C. White, D. Sank, J.Y. Mutus, B. Campbell, Y. Chen, Z. Chen, B. Chiaro, A. Dunsworth, I.-C. Hoi, C. Neill, P.J.J. O'Malley, C. Quintana, P. Roushan, A. Vainsencher, J. Wenner, A.N. Cleland, J.M. Martinis, Nature, 519, 66 (2015). DOI: 10.1038/nature14270

- [5] C.K. Andersen, A. Remm, S. Lazar, S. Krinner, N. Lacroix, G.J. Norris, M. Gabureac, C. Eichler, A. Wallraff, Nat. Phys., 16, 875 (2020). DOI: 10.1038/s41567-020-0920-y
- [6] Google Quantum AI and Collaborators, Nature, 614, 676 (2023). DOI: doi.org/10.1038/s41586-022-05434-1
- [7] Google Quantum AI and Collaborators, Nature, 638, 920 (2025). DOI: 10.1038/s41586-024-08449-y
- [8] N.P. Breuckmann, J.N. Eberhardt, PRX Quantum, 2, 040101 (2021). DOI: 10.1103/PRXQuantum.2.040101
- [9] K. Wang, Z. Lu, C. Zhang, G. Liu, J. Chen, Y. Wang, Y. Wu, S. Xu, X. Zhu, F. Jin, Y. Gao, Z. Tan, Z. Cui, N. Wang, Y. Zou, A. Zhang, T. Li, F. Shen, J. Zhong, Z. Bao, Z. Zhu, Y. Han, Y. He, J. Shen, H. Wang, J.-N. Yang, Z. Song, J. Deng, H. Dong, Z.-Z. Sun, W. Li, Q. Ye, S. Jiang, Y. Ma, P.-X. Shen, P. Zhang, H. Li, Q. Guo, Z. Wang, C. Song, H. Wang, D.-L. Deng, arXiv:2505.09684 [quant-ph] (2025).
- [10] B.W. Reichardt, D. Aasen, R. Chao, A. Chernoguzov, W. van Dam, J.P. Gaebler, D. Gresh, D. Lucchetti, M. Mills, S.A. Moses, B. Neyenhuis, A. Paetznick, A. Paz, P.E. Siegfried, M.P. da Silva, K.M. Svore, Z. Wang, M. Zanner, arXiv:2409.04628 [quant-ph] (2024). DOI: 10.48550/arXiv.2409.04628
- [11] B.W. Reichardt, A. Paetznick, D. Aasen, I. Basov, J.M. Bello-Rivas, P. Bonderson, R. Chao, W. van Dam, M.B. Hastings, R.V. Mishmash, A. Paz, M.P. da Silva, A. Sundaram, K.M. Svore, A. Vaschillo, Z. Wang, M. Zanner, W.B. Cairncross, C.-A. Chen, D. Crow, H. Kim, J.M. Kindem, J. King, M. McDonald, M.A. Norcia, A. Ryou, M. Stone, L. Wadleigh, K. Barnes, P. Battaglino, T.C. Bohdanowicz, G. Booth, A. Brown, M.O. Brown, K. Cassella, R. Coxe, J.M. Epstein, M. Feldkamp, C. Griger, E. Halperin, A. Heinz, F. Hummel, M. Jaffe, A.M.W. Jones, E. Kapit, K. Kotru, J. Lauigan, M. Li, J. Marjanovic, E. Megidish, M. Meredith, R. Morshead, J.A. Muniz, S. Narayanaswami, C. Nishiguchi, T. Paule, K.A. Pawlak, K.L. Pudenz, D. Rodríguez Pérez, J. Simon, A. Smull, D. Stack, M. Urbanek, R.J.M. van de Veerdonk, Z. Vendeiro, R.T. Weverka, T. Wilkason, T.-Y. Wu, X. Xie, E. Zalys-Geller, X. Zhang, B.J. Bloom, arXiv:2411.11822 [quant-ph] (2024).

DOI: 10.48550/arXiv.2411.11822

- [12] Z. Chen, K. Satzinger, J. Atalaya, A. Dunsworth, D. Sank, C. Quintana, M. McEwen, R. Barends, P. Klimov, S. Hong, C. Jones, A. Petukhov, D. Kafri, S. Demura, B. Burkett, C. Gidney, A. Fowler, A. Paler, J. Kelly, Nature, 595, 383 (2021). DOI: 10.1038/s41586-021-03588-y
- [13] B. Varbanov, F. Battistel, B. Tarasinski, V. Ostroukh, T. O'Brien, L. DiCarlo, B. Terhal, npj Quantum Inf., 6, 102 (2020). DOI: 10.1038/s41534-020-00330-w
- [14] Q. Ficheux, L.B. Nguyen, A. Somoroff, H. Xiong, K.N. Nesterov, M.G. Vavilov, V.E. Manucharyan, Phys. Rev. X, 11, 021026 (2021). DOI: 10.1103/PhysRevX.11.021026
- [15] I.A. Simakov, G.S. Mazhorin, I.N. Moskalenko, N.N. Abramov, A.A. Grigorev, D.O. Moskalev, A.A. Pishchimova, N.S. Smirnov, E.V. Zikiy, I.A. Rodionov, I.S. Besedin, PRX Quantum, 4, 040321 (2023).
  DOI: 10.1103/PRXQuantum.4.040321
- [16] L. Ding, M. Hays, Y. Sung, B. Kannan, J. An, A. Di Paolo, A.H. Karamlou, T.M. Hazard, K. Azar, D.K. Kim, B.M. Niedzielski, A. Melville, M.E. Schwartz, J.L. Yoder, T.P. Orlando, S. Gustavsson, J.A. Grover, K. Serniak, W.D. Oliver, Phys. Rev. X, 13, 031035 (2023). DOI: 10.1103/PhysRevX.13.031035
- [17] I.N. Moskalenko, I.A. Simakov, N.N. Abramov, A.A. Grigorev, D.O. Moskalev, A.A. Pishchimova, N.S. Smirnov, E.V. Zikiy, I.A. Rodionov, I.S. Besedin, npj Quantum Inf., 8, 130 (2022). DOI: 10.1038/s41534-022-00644-x
- [18] М. Нильсен, И. Чанг, Квантовые вычисления и квантовая информация (Мир, М., 2006), с. 471–480.
- [19] A. Javadi-Abhari, M. Treinish, K. Krsulich, C.J. Wood, J. Lishman, J. Gacon, S. Martiel, P.D. Nation, L.S. Bishop, A.W. Cross, B.R. Johnson, J.M. Gambetta, arXiv:2405.08810 [quant-ph] (2024). DOI: 10.48550/arXiv.2405.08810
- [20] S.T. Spitz, B. Tarasinski, C.W.J. Beenakker, T.E. O'Brien, Adv. Quantum Technol., 1 (1), 1800012 (2018).
   DOI: 10.1002/qute.201870015